

### III-19 中・低圧下でのじゅすの圧縮・せん断特性(その1)

名古屋大学大学院 学生員 三隅 浩二  
鹿児島大学工学部 正員 春山 元寿  
同上 正員 北村 良介

#### 1. まえがき

地盤表面部を構成する粘性土、砂質土、岩石の力学的挙動はそれ各自が異なり、従来の土質力学ではこれらの地盤材料は別個に取扱われることが多かった。しかし、これらの材料の生成過程を考慮すれば、その差異は相対的なものであり、力学的挙動は統一的に記述することができるであろうと考えられる。ところで、1960年代に Roscoeらが弾塑性論を利用して確立した Cambridge Model は粘性土の圧密・せん断挙動を統一的に表現できる最初のモデルであった。粘性土と砂質土の力学的挙動の差が相対的なものであるなら、砂質土の挙動も弾塑性論を利用して表現できるはずである。足立らは<sup>2)</sup>のように主場に立ち、豊浦砂を用い、Cambridge Modelの柱となつてある  $e \sim \log p$  實験、Critical State の概念について考察を加えた。本報告では、じゅすを用い、側圧が  $30 \text{ kgf/cm}^2$  まで可能な中圧三軸室による排水条件下での三軸実験を行い、砂質土に属するじゅすの場合にも拘束圧の範囲を広げると、粘性土や高圧下の豊浦砂と同じ挙動があらわされることを示してある。

#### 2. 実験試料、装置および手順

試料は、鹿児島市内で採取したじゅすで、 $840 \text{ ml}$  フルイを通過し、 $74 \text{ ml}$  フルイに残る部分を水洗い後、蒸留した飽和試料である。試料の比重は 2.40、最大間隙比  $e_{max}$  は 1.64、最小間隙比  $e_{min}$  は 0.93 である。供試体は、水を満たしたモールドの中に試料を水中堆積させ、その後凍結することによって作製した。供試体の初期間隙比が表-1 に示してある。表にはせん断過程での側圧と過圧縮比(OCR)があわせて示されており。得られた供試体の初期間隙比は 1.6 前後であり、比較的緩いことわかる。

図-1 は実験装置の概略図である。三軸室はアクリル製で許容側圧が  $30 \text{ kgf/cm}^2$  である。 $0 \sim 6 \text{ kgf/cm}^2$  の側圧は、コンプレッサーから供給される空気圧を制御することによって所定の側圧を設定した。 $15 \text{ kgf/cm}^2$  以上の側圧の場合には、図-1 に示すように容量  $7 \text{ m}^3$ 、封入圧  $150 \text{ kgf/cm}^2$  の市販の窒素ガスボンベを用い、一次圧を  $60 \sim 80 \text{ kgf/cm}^2$  に調節し、さらに高精度のレディュレーターにより所定の圧力を設定した。

凍結した供試体は、直徑と高さをすばやく測定し、三軸室にセットした後、所定の圧力を等方圧縮を行った。そして、等方圧縮終了後、側圧一定、排水条件下でひずみ制御型三軸せん断試験を行った。せん断過程での軸ひずみ速度は  $1.4\%/\text{min}$  である。

#### 3. 実験結果

##### 3.1 等方圧縮・膨脹過程

等方圧縮は、圧力 2, 4, 6, 15,  $30 \text{ kgf/cm}^2$  で行った。また、 $30 \text{ kgf/cm}^2$  で圧縮した供試体のうち、3 テースにつ

表-1 初期間隙比

側圧 $\text{kgf/cm}^2$	間隙比	OCR
2	1.585	1
4	1.559	1
6	1.581	1
15	1.588	1
30	1.594	1
2	1.621	15
6	1.565	5
15	1.618	2

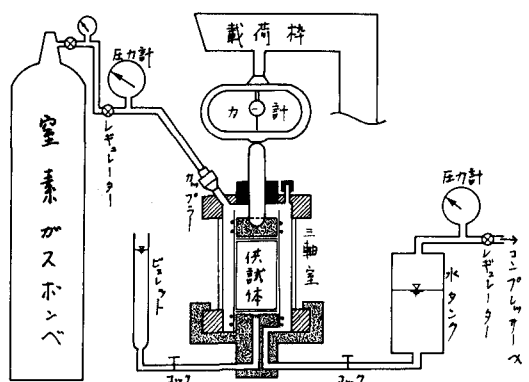


図-1 三軸実験装置の概略図

1121は、2, 4, 15 kgf/cm<sup>2</sup>まで膨潤した(OCR=15, 5, 2)。図-2の実線部分が得られた結果を  $\nu \sim \log p'$  図形で整理したものである(図-2, 1: 体積比(=1+e),  $p'$ : 等方圧)。粘性土の場合には  $p' = 1 \text{ kgf/cm}^2$  前後、豊浦砂の場合には  $100 \text{ kgf/cm}^2$  前後からあらわれる折れ点があり(過圧密領域から正規圧密領域への移行)が、図-2によれば、繰り返しの場合は  $10 \text{ kgf/cm}^2$  前後であらわることがわかる。また、膨潤曲線については、粘性土や豊浦砂の場合と同様に初期圧縮曲線とは平行に走る。

### 3.2 せん断過程

図-3は表-1に示した OCR=1 の供試体のせん断過程での応力～軸ひずみ～体積ひずみ関係である。図-4には OCR=1 と OCR=1, 例在  $30 \text{ kgf/cm}^2$  の供試体より得られた同様の関係が示されている。図中の  $\sigma'$  は平均有効主応力、  $\sigma'_t$  は軸差応力、  $E_{at}$  は軸ひずみ、  $E_v$  は体積ひずみである。図-4より、拘束圧が小さいほどピーク強度が大きいこと、体積ひずみは拘束圧が小さいほど圧縮傾向が少なく、  $2 \text{ kgf/cm}^2$  の場合にはピーク強度は近づいて繰り膨張傾向を示していること、拘束圧が大きくなるにつれて体積ひずみは拘束圧に依存せず一定となること等がわかる。図-4より、応力～ひずみ関係においては OCR が大きいほど初期接線勾配が大きく、また、体積変化も OCR が大きいほど繰り膨張傾向を示すことがわかる。図-3, 4 の結果は、これまでに正規圧密、過圧密の粘性土に対して明らかにされた結果と同様のものであり、水中堆積した繰りのしらすの場合、 $15 \text{ kgf/cm}^2$  以上の拘束圧のもとでは正規圧密粘土と同様の挙動を示すことがわかる。

図-2にはせん断開始時、ピーク強度時、せん断終了時ににおける体積比と平均有効主応力との関係が示され、△, □, ○印でプロットされ、それらの点が直線で結ばれている。ただし、ピーク強度が明らかでないものは○印を省略した。また、図-2には、正規圧密曲線と Cambridge Model の限界状態線が示され、一点鎖線、二点鎖線で示されている。図より、せん断終了時にあらわす ○印が限界状態線へ指向していることがわかる。このことは、しらすの力学的挙動に3年目 Cambridge Model の適用の可能性を示唆している。

### 4. あとがき

しらすを用い、 $30 \text{ kgf/cm}^2$  までの側圧が可能な三軸室により三軸実験を行い、拘束圧の範囲を広げるとしらすの場合も粘性土と同様の力学的挙動があらわすことを見た。その上、上述の実験結果をもとにしらすに対する Cambridge Model の適用について考察を加える。実験装置については、金沢大、関口助教より貴重な助言をいたしました。ここに謝意を表します。

(参考文献) 1) 例在が Schofield and Wroth's Critical State Soil Mechanics, 2) 足立: 第15回工質工学研究発表会, pp.377-380

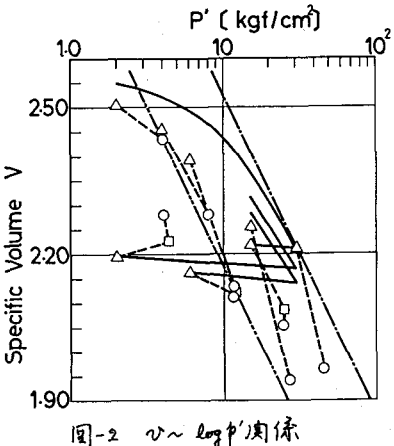


図-2  $V \sim \log p'$  関係

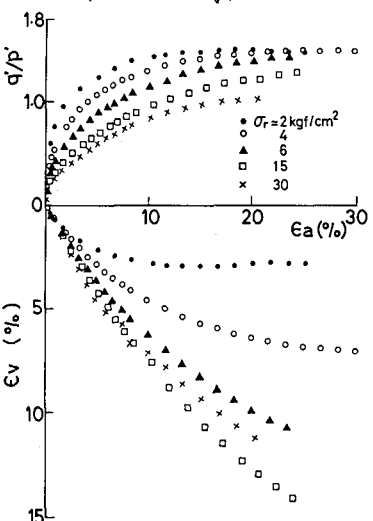


図-3 応力～軸ひずみ～体積変化関係

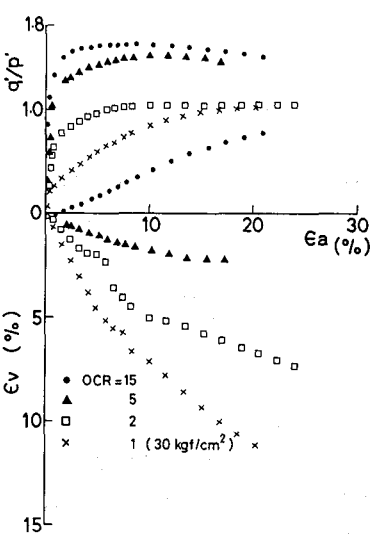


図-4 応力～軸ひずみ～体積変化関係